



UNIVERSIDADE FEDERAL DO ESTADO DO RIO DE JANEIRO
CENTRO DE CIÊNCIAS EXATAS E TECNOLOGIA

Relatórios Técnicos
do Departamento de Informática Aplicada
da UNIRIO
n° SN/2021

**Complexidade empírica do algoritmo
de Dijkstra para o Problema do
Caminho Mínimo**

Caio Souza
Emmanuel Gomes
Fabício Janssen
Marcelo Simas

Departamento de Informática Aplicada

UNIVERSIDADE FEDERAL DO ESTADO DO RIO DE JANEIRO
Av. Pasteur, 458, Urca - CEP 22290-240
RIO DE JANEIRO – BRASIL

Complexidade empírica do algoritmo de Dijkstra para o Problema do Caminho Mínimo *

Caio Souza¹, Emmanuel Gomes¹, Fabrício Janssen¹, Marcelo Simas¹

¹Depto de Informática Aplicada – Universidade Federal do Estado do Rio de Janeiro (UNIRIO)

caio.souza@edu.unirio.br, emmanuel.souza@edu.unirio.br,
fabricao.janssen@uniriotec.br, marcelo.mattos@edu.unirio.br

Abstract. This technical report presents an implementation in C of the Dijkstra algorithm to solve the shortest path tree problem. Two versions of the algorithm were implemented, in C language, using an *array* and a *binary heap* to store the lowest costs and it's presented a comparison between those. The empirical complexity analysis was performed using the five available classes' instances. It was concluded that in instances with sparse graphs, the *array* version was slower than the *heap* version and that the processing time was equivalent in the complete graph instances even though the heap implementation has a better complexity.

Keywords: *Dijkstra Algorithm, Shortest path, Time complexity.*

Resumo. Este relatório técnico apresenta a implementação na linguagem C do algoritmo de Dijkstra para resolver o problema da árvore de caminho mínimo. É feita a implementação de duas versões do algoritmo, em linguagem C, usando *array* e *heap* binário para o armazenamento dos menores custos e apresentado um comparativo entre elas. Essa análise de complexidade empírica foi realizada utilizando-se as cinco classes de instâncias disponibilizadas. Concluiu-se que nas classes que possuem grafos esparsos, o algoritmo em versão *array* mostrou-se mais lento que a versão em *heap* e que o tempo de processamento foi equivalente nas classes de grafos completos mesmo a implementação em heap tendo melhor complexidade.

Palavras-chave: *Algoritmo Dijkstra, Caminho mais curto, Complexidade de tempo.*

Sumário

1. Introdução	4
2. Conceitos Fundamentais	5
2.1 Problema do Caminho Mínimo	5
2.2 O algoritmo de <i>Dijkstra</i>	6
3. Implementação e Análise do algoritmo	6
3.1 Algoritmo de <i>Dijkstra</i> com armazenamento em <i>array</i>	7
3.2 Algoritmo de <i>Dijkstra</i> com armazenamento em <i>heap</i>	8
4. O ambiente computacional utilizado	10
5. Rotina para medição do tempo	10
6. Discussão sobre a implementação e análise do algoritmo	12
6.1 Instâncias ALUE	12
6.2 Instâncias ALUT	15
6.3 Instâncias DMXA	16
6.4 Instâncias test_set1	18
6.5 Instâncias test_set2	20
7. Análise normalizada	22
8. Conclusão	23
Referências	24

1. Introdução

Os algoritmos são cada vez mais importantes na seleção das informações consideradas de maior relevância para a sociedade (Gillespie, 2014). Mas o que são **algoritmos**? Para Cormen (2017), trata-se de um conjunto de etapas para se executar uma tarefa. “Você tem um algoritmo para escovar os dentes: abrir o tubo da pasta dental, pegar a escova de dentes, apertar o tubo da pasta dental sobre a escova colocando a quantidade necessária, fechar o tubo”, explica o autor.

No contexto dos Sistemas de Informação, Ziviani (2004) define que “um algoritmo pode ser visto como uma sequência de ações executáveis para a obtenção de uma solução para um determinado tipo de problema”. Para ele, cada passo “deve ser bem definido, sem ambiguidades, e executáveis computacionalmente”. Ainda segundo o autor, **estruturas de dados** e algoritmos estão intimamente ligados, pois não se pode estudar estruturas de dados sem considerar os algoritmos ligados a elas, assim como a escolha dos algoritmos em geral depende da estrutura dos dados: “**Programar** é basicamente estruturar dados e construir algoritmos”.

É possível desenvolver vários algoritmos para solucionar o mesmo problema. Na área de **análise de algoritmos**, existem dois caminhos bem distintos, segundo Knuth (1971): (i) Qual é o custo de usar um algoritmo para resolver um problema específico? (ii) Qual é o algoritmo de menor custo possível para resolver o problema? De acordo com Duch (2007), a característica básica que um algoritmo deve ter é que seja correto, ou seja, que produza o resultado desejado em tempo finito. Mais distante, pode interessar que seja claro, bem estruturado, fácil de usar, fácil de implementar e eficiente. Entende-se pela eficiência de um algoritmo a quantidade de recursos de computação que requer; ou seja, qual é o seu tempo de execução e quanto usa de memória. A quantidade de tempo necessária para a execução de um determinado algoritmo é chamado de **custo de tempo**, enquanto a quantidade de memória que é necessária é frequentemente chamado de **custo de espaço** (Duch, 2007).

O problema de caminho mínimo é um dos problemas genéricos mais estudados e utilizados em diversas áreas como Ciência da Computação e Inteligência Artificial. Dada uma rede, composta de nós (ou vértices) e arcos (ou ligações) entre esses nós, o problema pode ser enunciado como o de encontrar o menor caminho entre dois nós dessa rede (Von Atzingen *et. al*, 2012). O algoritmo *Dijkstra*, que consiste em verificar se há a possibilidade de melhorar o caminho obtido, é eficiente para resolver esse problema.

Neste trabalho, foram implementadas duas versões desse algoritmo, na linguagem C. Na primeira, os valores são armazenados em um vetor (*array*); e, na segunda, os valores são armazenados em uma fila de prioridades implementada com um *heap binário*. Em seguida, foi realizada uma análise de complexidade empírica utilizando as cinco classes de instâncias disponibilizadas.

Conforme esperado, nas classes que possuem instâncias de grafos esparsos, o algoritmo em versão *array* mostrou-se mais lento que a versão em *heap*, por sua complexidade ser maior. Porém, observou-se que o tempo de processamento foi equivalente nas classes de grafos completos.

Além desta Introdução, a Seção 2 apresenta o problema do caminho mínimo, e o algoritmo Dijkstra; a Seção 3 explica a implementação e a análise do algoritmo; a Seção 4 apresenta o ambiente computacional que foi utilizado; a Seção 5 relata a rotina para medição do tempo de execução; a Seção 6 traz uma discussão sobre a implementação do algoritmo; na Seção 7 é realizado um comparativo dos tempos de execução com a complexidade esperada; e, finalmente, a Seção 8 apresenta a conclusão.

2. Conceitos Fundamentais

2.1 Problema do Caminho Mínimo

O problema do caminho mínimo ou caminho mais curto, consiste em encontrar o melhor caminho entre dois nós. Assim, resolver este problema pode significar determinar o caminho entre dois nós com o custo mínimo, ou com o menor tempo de viagem.

Numa rede qualquer, dependendo das suas características, pode existir vários caminhos entre um par de nós, definidos como origem e destino. Entre os vários caminhos, aquele que possui o menor “peso” é chamado de caminho mínimo. Este peso representa a soma total dos valores dos arcos que compõem o caminho e estes valores podem ser: o tempo de viagem, a distância percorrida ou um custo qualquer do arco.

1) Modelagem matemática

O modelo matemático para o problema de caminho mais curto do nó 1 ao nó n de um grafo $G=(N,E)$, $N = \{1, 2, \dots, n\}$.

- Variáveis:
 $x_{ij} \in \{0,1\}$ ativação, ou não do arco (i, j)
- Parâmetros:
 c_{ij} custo unitário do fluxo em (i, j)
 $S(j)$ é o conjunto dos nós sucessores de j
 $P(j)$ é o conjunto dos nós predecessores de j
- Função objetivo:

$$\min Z = \sum_{i=1}^n \sum_{j \in S(i)} c_{ij} x_{ij}$$

- Restrições:

$$\sum_{j \in S(1)} x_{1j} = 1$$

$$\sum_{i \in P(n)} x_{in} = 1$$

$$\sum_{i \in P(j)} x_{ij} = \sum_{k \in S(j)} x_{jk}, j = 2, \dots, n-1$$

Para resolução do problema de caminho mínimo, existem algoritmos alternativos mais simples e mais eficientes, como por exemplo o *Dijkstra*.

2.2 O algoritmo de *Dijkstra*

O algoritmo de *Dijkstra* é uma solução para o problema do caminho mínimo de origem única. Funciona em grafos orientados e não orientados, no entanto, todas as arestas devem ter custos não negativos. Se houver custos negativos, usa-se o algoritmo de *Bellman-Ford*.

Entrada: Grafo ponderado $G=(N,E)$ e nó origem $O \in N$, de modo que todos os custos das arestas sejam não negativos.

Saída: Comprimentos de caminhos mais curtos (ou os caminhos mais curtos em si) de um determinado nó origem $O \in N$ para todos os outros nós.

3. Implementação e Análise do algoritmo

O algoritmo de *Dijkstra* identifica, a partir do nó O , qual é o custo mínimo entre esse nó e todos os outros do grafo. No início, o conjunto S contém somente esse nó, chamado origem. A cada passo, selecionamos no conjunto de nós sobrando, o que está mais perto da origem. Depois, para cada nó que está sobrando, é atualizada a sua distância em relação à origem. Se passando pelo novo nó acrescentado, a distância fica menor, é essa nova distância que será memorizada.

Escolhido um nó como origem da busca, este algoritmo calcula, então, o custo mínimo deste nó para todos os demais nós do grafo. O procedimento é iterativo, determinando, na iteração 1, o nó mais próximo do nó O , na segunda iteração, o segundo nó mais próximo do nó O , e assim sucessivamente, até que em alguma iteração todos os n nós sejam atingidos.

Seja $G=(N,E)$ um grafo orientado e s um nó de G :

- Atribua valor zero à estimativa do custo mínimo do nó O (a origem da busca) e infinito às demais estimativas;
- Atribua um valor qualquer aos precedentes (o precedente de um nó t é o nó que precede t no caminho de custo mínimo de s para t);

- Enquanto houver nó aberto:
 - Seja k um nó ainda aberto cuja estimativa seja a menor dentre todos os nós abertos;
 - Feche o nó k ;
- Para todo nó j ainda aberto que seja sucessor de k faça:
 - Some a estimativa do nó k com o custo do arco que une k a j ;
 - Caso esta soma seja melhor que a estimativa anterior para o nó j , substitua-a e anote k como precedente de j .

3.1 Algoritmo de *Dijkstra* com armazenamento em *array*

O algoritmo de *Dijkstra*, em alto nível, está descrito nas figuras a seguir, seguido de suas implementações.

A figura 01 apresenta o algoritmo em sua versão com armazenamento em *array*. Na página seguinte, é apresentada a implementação do mesmo em C, na figura 02.

```

algorithm Dijkstra;
begin
   $S := \emptyset; \bar{S} := N;$ 
   $d(i) := \infty$  for each node  $i \in N$ ;
   $d(s) := 0$  and  $\text{pred}(s) := 0$ ;
  while  $|S| < n$  do
    begin
      let  $i \in \bar{S}$  be a node for which  $d(i) = \min\{d(j) : j \in \bar{S}\}$ ;
       $S := S \cup \{i\}$ ;
       $\bar{S} := \bar{S} - \{i\}$ ;
      for each  $(i, j) \in A(i)$  do
        if  $d(j) > d(i) + c_{ij}$  then  $d(j) := d(i) + c_{ij}$  and  $\text{pred}(j) := i$ ;
    end;
  end;

```

Figura 01. Algoritmo de *Dijkstra* em alto nível com armazenamento em *array*. [Ahuja, pág 109]

```

void dijkstra_array(Graph graph, size_t costs[]) {
    LinkedList unexplored = LL_new(graph->vertices);

    // Initialize the unexplored to every vertex and the costs to max
    for (size_t i = 0; i < graph->vertices; i++) {
        costs[i] = SIZE_MAX;
        LL_append(unexplored, i, SIZE_MAX);
    }

    // Starts with the first on the graph as explored
    costs[0] = 0;

    while (unexplored->len) {
        size_t smallest_vertex = LL_remove_smallest_by_cost(unexplored, costs);

        LinkedList adjacency = graph->adjacency[smallest_vertex];
        size_t current_cost = costs[smallest_vertex];

        for (LL_foreach(adjacency, neighbor)) {
            size_t n_vertex = neighbor->vertex;
            size_t new_cost = current_cost + neighbor->cost;

            if (new_cost < costs[n_vertex]) {
                costs[n_vertex] = new_cost;
            }
        }
    }

    LL_delete(&unexplored);
}

```

Figura 02. Implementação do algoritmo de *Dijkstra* armazenamento em *array*.

3.2 Algoritmo de *Dijkstra* com armazenamento em *heap*

A figura 03 apresenta o algoritmo em sua versão com armazenamento em *heap*, em alto nível. Logo abaixo, é apresentada a implementação do mesmo em C, na figura 04.


```

algorithm heap-Dijkstra;
begin
    create-heap( $H$ );
     $d(j) := \infty$  for all  $j \in N$ ;
     $d(s) := 0$  and  $\text{pred}(s) := 0$ ;
    insert( $s, H$ );
    while  $H \neq \emptyset$  do
        begin
            find-min( $i, H$ );
            delete-min( $i, H$ );
            for each  $(i, j) \in A(i)$  do
                begin
                    value :=  $d(i) + c_{ij}$ ;
                    if  $d(j) > \text{value}$  then
                        if  $d(j) = \infty$  then  $d(j) := \text{value}$ ,  $\text{pred}(j) := i$ , and insert( $j, H$ )
                        else set  $d(j) := \text{value}$ ,  $\text{pred}(j) := i$ , and decrease-key(value,  $i, H$ );
                    end;
                end;
            end;
        end;
    end;

```

Figura 03. Algoritmo de *Dijkstra* em alto nível com armazenamento em *heap*. [Ahuja, pág 115]

```

void dijkstra_heap(Graph graph, size_t costs[]) {
    Heap explored = HEAP_new(graph->vertices);

    // Initialize the unexplored to every vertex and the costs to max
    for (size_t i = 0; i < graph->vertices; i++)
        costs[i] = SIZE_MAX;

    // Starts with the first on the graph as explored
    costs[0] = 0;
    HEAP_add(explored, edge: 0, cost: 0);

    while (explored->size) {
        Edge smallest = HEAP_pop(explored);
        size_t smallest_vertex = smallest.id;

        LinkedList adjacency = graph->adjacency[smallest_vertex];
        size_t current_cost = costs[smallest_vertex];

        for (LL_foreach(adjacency, neighbor)) {
            size_t n_vertex = neighbor->vertex;
            size_t new_cost = current_cost + neighbor->cost;

            if (new_cost < costs[n_vertex]) {
                if (costs[n_vertex] == SIZE_MAX)
                    HEAP_add(explored, n_vertex, new_cost);
                else
                    HEAP_decrease_to(explored, n_vertex, new_cost);
                costs[n_vertex] = new_cost;
            }
        }
    }

    HEAP_delete(&explored);
}

```

Figura 04. Implementação do algoritmo de *Dijkstra* armazenamento em *heap*.

4. O ambiente computacional utilizado

Para a realização da simulação do algoritmo de *Dijkstra* e avaliação empírica foi desenvolvido a programação seguindo projeto modular de implementação dos algoritmos necessários, para isso, foi utilizado o Ambiente de Desenvolvimento Integrado (IDE) CLion. Neste IDE, foi realizada a codificação usando a Linguagem de programação C. O código fonte foi compilado usando o GNU Compiler Collection (gcc) na versão 9.3.0, sendo que foi usado com flag de otimização "-O3". Um destaque importante em relação a performance é à codificação de medição do tempo no qual foi usada a função da Linguagem C *clock_gettime* com o parâmetro *CLOCK_MONOTONIC*, este parâmetro permite a precisão de décimos de milésimos de segundos. A seguir são apresentados os recursos computacionais usados para a implementação do algoritmo:

- Processador: Intel(R) Core(TM) i7-8700 CPU @ 3.20GHz. Arquitetura x86_64. 6 cores (12 processadores lógicos). Programa single thread.
- Cache: L1 384KB. L2 1,5MB. L3 12,0MB.
- Memória RAM: 32GB.
- Linguagem: C. Versão C11.
- Sistema operacional: Linux Ubuntu/WSL 5.10.16.3-microsoft-standard-WSL2.
- Compilação: GNU Compiler Collection (gcc). Versão 9.3.0. Compilado com flag de otimização "-O3".

5. Rotina para medição do tempo

```
Graph graph = GRAPH_parse_test( filename: "../instances/test_set1/check_v5_s1.dat");

benchmark(
    name: "array",
    graph,
    dijkstra_array,
    print_result: false,
    warmup_amount: 10,
    measure_amount: 20);

benchmark(
    name: " heap",
    graph,
    dijkstra_heap,
    print_result: false,
    warmup_amount: 10,
    measure_amount: 20);
```

Figura 05. Exemplo de invocação do *benchmark*.

```

double get_time() {
    struct timespec t;
    clock_gettime(CLOCK_MONOTONIC, &t);
    return (double) t.tv_sec + 1.0e-9 * t.tv_nsec;
}

void benchmark(
    char *name,
    Graph graph,
    void (*dijkstra)(Graph, size_t[]),
    bool print_result,
    size_t warmup_amount,
    size_t measure_amount
) {
    size_t costs[graph->vertices];

    // Warmup
    for (int i = 0; i < warmup_amount; i++)
        dijkstra(graph, costs);

    double measures[measure_amount];

    // Measure
    printf( fmt: "Benchmark %s (%zu, %zu):", name, graph->vertices, graph->edges);
    for (int i = 0; i < measure_amount; i++) {
        double start_time = get_time();
        dijkstra(graph, costs);
        measures[i] = get_time() - start_time;

        // Print the last result
        if (print_result && i == measure_amount - 1) {
            printf( fmt: "Results:\n");
            for (size_t j = 0; j < graph->vertices; j++)
                printf( fmt: "%zu %zu\n", j, costs[j]);
            printf( fmt: "End results");
        }
    }

    for (int i = 0; i < measure_amount; i++)
        printf( fmt: " %2.8f", measures[i]);
    printf( fmt: "\n");
}

```

Figura 06. Algoritmo para medição do tempo de execução.

A medição do tempo se fez da seguinte forma:

- Inicialmente o algoritmo é executado 10 vezes para fazer o “warmup” da CPU conforme o algoritmo. Esse warmup é necessário para a CPU melhor prever o caminho da execução do algoritmo, preencher cache, dentre outros.
- Após este “warmup”, o algoritmo foi executado 20 vezes. O tempo de cada uma desta execução foi armazenado.
- Em cada execução, foi armazenado o tempo preciso (em nanosegundos) em que ela iniciou e finalizou, ignorando a leitura de dados.
- Nas tabelas são apresentados os valores médios destas execuções.

6. Discussão sobre a implementação e análise do algoritmo

Para o estudo do comportamento empírico do algoritmo de *Dijkstra* realizou-se a implementação de duas versões do algoritmo: a versão em que os valores $d(i)$ são armazenados em um vetor (*array*), e temos $i = 1, \dots, n$; e a versão em que os valores $d(i)$ são armazenados em uma fila de prioridades implementada com um *heap binário*, com $i = 1, \dots, n$. Ambas as versões foram codificadas pelo grupo especificamente para este trabalho.

A análise de complexidade empírica foi realizada utilizando-se as cinco classes de instâncias disponibilizadas para o trabalho, a saber:

- Classe ALUE - conjunto de 14 instâncias simétricas de grafos esparsos.
- Classe ALUT - conjunto de 9 instâncias simétricas de grafos esparsos.
- Classe DMXA - conjunto de 15 instâncias simétricas de grafos esparsos.
- test_set1 - classe de grafos completos e simétricos composta de dez instâncias. Sendo uma instância para cada valor de $n \in \{100; 200; 300; 400; 500; 600; 700; 800; 900; 1000\}$.
- test_set2 - classe de grafos completos e assimétricos composta de dez instâncias. Sendo uma instância para cada valor de $n \in \{100; 200; 300; 400; 500; 600; 700; 800; 900; 1000\}$.

Para cada uma das instâncias, o algoritmo foi executado 20 vezes em cada uma das versões (*array* e *heap*). Os resultados do tempo de execução gerados de cada instância foram imprimidos para se realizar a análise de complexidade. A programação foi codificada de modo que estes resultados ficassem dispostos de forma tabulada, facilitando assim a geração de gráficos. Tanto as tabelas geradas, quanto os gráficos são exibidos nas próximas seções, assim como as devidas análises.

6.1 Instâncias ALUE

As instâncias ALUE são simétricas de grafos esparsos, quanto à característica de serem grafos esparsos isso pode ser verificado na Tabela 1 pois o número de arestas é da mesma ordem n de nós em cada uma das instâncias.

Tabela 1 – Características de nós e arestas das instâncias ALUE

Instâncias	Nós	Arestas
alue7229	940	1.474
alue2105	1.220	1.858
alue2087	1.244	1.971
alue6951	2.818	4.419
alue6179	3.372	5.213
alue5067	3.524	5.560
alue3146	3.620	5.869
alue6457	3.932	6.137
alue6735	4.119	6.696
alue5623	4.472	6.938
alue5345	5.179	8.165
alue7066	6.405	10.454
alue5901	11.543	18.429
alue7065	34.046	54.841
alue7080	34.479	55.494

A Tabela 2 traz a mediana dos valores para o tempo de execução de cada instância ALUE em nanossegundos (ns). Para fazer o estudo do comportamento empírico e analisar a complexidade e o crescimento do tempo de processamento, foi gerado um gráfico a partir dos valores das medianas dos tempos para as versões do algoritmo *array* e *heap* obtidos da tabela Tabela 2. O gráfico é apresentado a seguir.

Tabela 2 – Médias para tempo de execução das instâncias ALUE

Instâncias	Array - tempo mediano (ns)	Heap - tempo mediano (ns)
alue7229	757.750	40.250
alue2105	1.279.250	56.350
alue2087	1.336.000	57.750
alue6951	6.620.150	151.550
alue6179	9.335.550	181.450
alue5067	10.282.150	193.950

alue3146	11.336.450	218.150
alue6457	12.751.350	223.750
alue6735	14.353.200	255.699
alue5623	17.154.350	277.300
alue5345	22.826.500	327.950
alue7066	35.322.300	419.350
alue5901	121.274.050	782.550
alue7065	1.078.657.150	3.956.700
alue7080	1.124.705.700	4.006.500

De modo a comparar as duas versões do algoritmo, foi incluído a versão *array* e *heap* no mesmo gráfico (figura 07).

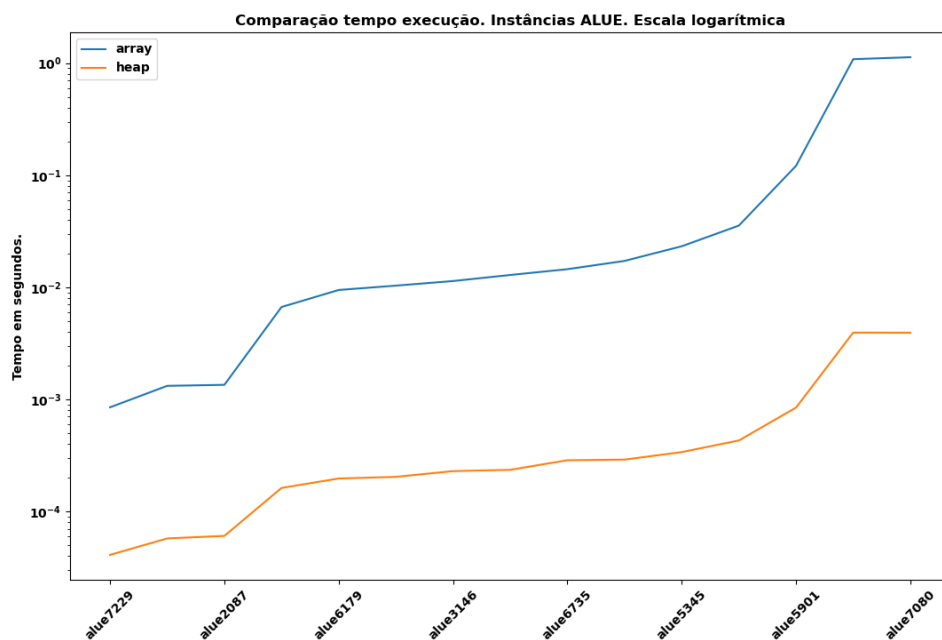


Figura 07. Gráfico de instâncias ALUE com comparação entre *Array* e de *Heap*.

Foi realizada também a normalização do tempo de processamento, dividindo-se as medianas dos tempos de cada instância (Tabela 2) por n^2 no caso da implementação por *array*, e $n \log n$ no caso da implementação por *heap*. A finalidade desta normalização é analisar se o tempo obtido por benchmark corrobora a complexidade esperada do algoritmo.

6.2 Instâncias ALUT

As instâncias ALUT, assim como as instâncias ALUE, também são simétricas de grafos esparsos. O número de nós e arestas de cada instância podem ser verificados na Tabela 3.

Tabela 3 – Características de nós e arestas das instâncias ALUT

Instâncias	Nós	Arestas
alut2764	387	626
alut0805	966	1.666
alut0787	1.160	2.089
alut1181	3.041	5.693
alut2566	5.021	9.055
alut2010	6.104	11.011
alut2288	9.070	16.595
alut2610	33.901	62.816
alut2625	36.711	68.117

A Tabela 4 traz os valores médios para o tempo de execução de cada instância ALUT em nanossegundos (ns). Para fazer o estudo do comportamento empírico e analisar a complexidade e o crescimento do tempo de processamento, foi gerado um gráfico que é apresentado a seguir.

Tabela 4 – Médias para tempo de execução das instâncias ALUT

Instâncias	Array - tempo mediano (ns)	Heap - tempo mediano (ns)
alut2764	132.500	9.050
alut0805	793.400	38.250
alut0787	1.147.500	44.850
alut1181	8.008.200	156.200
alut2566	21.711.700	696.350
alut2010	32.580.500	830.950
alut2288	75.923.900	567.650
alut2610	1.069.805.100	5.627.000
alut2625	1.263.823.200	4.349.850

A Figura 08 mostra que também nas instâncias ALUT a versão *array* é mais lenta do que a versão *heap*, isso fica evidenciado pelo crescimento exibido para a instâncias maiores de ALUT.

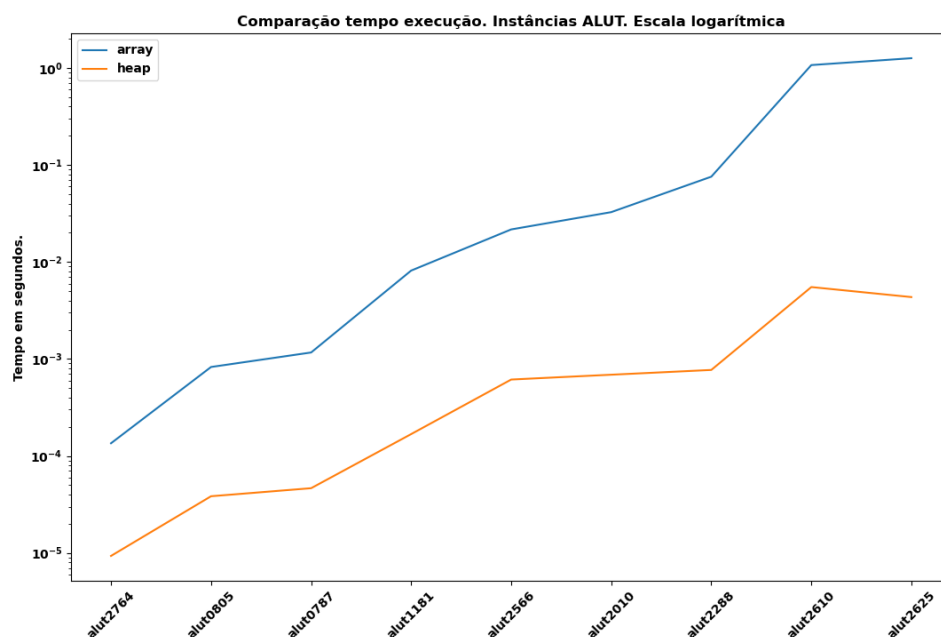


Figura 08. Gráfico de instâncias ALUT com comparação entre *Array* e *Heap*.

6.3 Instâncias DMXA

As características sobre nós e arestas das instâncias DMXA são mostradas na Tabela 5.

Tabela 5 – Características de nós e arestas das instâncias DMXA

Instâncias	Nós	Arestas
dmxa0628	169	280
dmxa0296	233	386
dmxa1304	298	503
dmxa1109	343	559
dmxa0848	499	861
dmxa0903	632	1.087
dmxa0734	663	1.154
dmxa1516	720	1.269
dmxa1200	770	1.383

dmxa1721	1.005	1.731
dmxa0454	1.848	3.226
dmxa0368	2.050	5.765
dmxa1801	2.333	4.137
dmxa1010	3.083	7.108

A Tabela 6 exibe as medianas para tempo de execução das versões *array* e *heap* em nanosegundos (ns) do algoritmo de estudo para as instâncias DMXA. O gráfico para esses resultados são apresentados a seguir.

Tabela 6 – Médias para tempo de execução das instâncias DMXA

Instâncias	Array - tempo mediano (nns)	Heap - tempo mediano (nns)
dmxa0628	29.100	4.950
dmxa0296	52.900	5.250
dmxa1304	82.900	7.600
dmxa1109	107.000	8.950
dmxa0848	217.150	16.450
dmxa0903	344.650	23.150
dmxa0734	380.250	23.899
dmxa1516	449.850	26.200
dmxa1200	514.950	28.650
dmxa1721	862.150	41.350
dmxa0454	2.891.000	92.300
dmxa0368	3.524.600	94.050
dmxa1801	4.656.450	121.750
dmxa1010	13.237.900	209.150

Com base nos resultados de tempo de processamento e apoiando-se no gráfico da Figura 09, tem-se que a versão do algoritmo *array* é mais lento que a versão *heap* e a versão *heap* possui tempo de processamento próximo a $n \log n$.

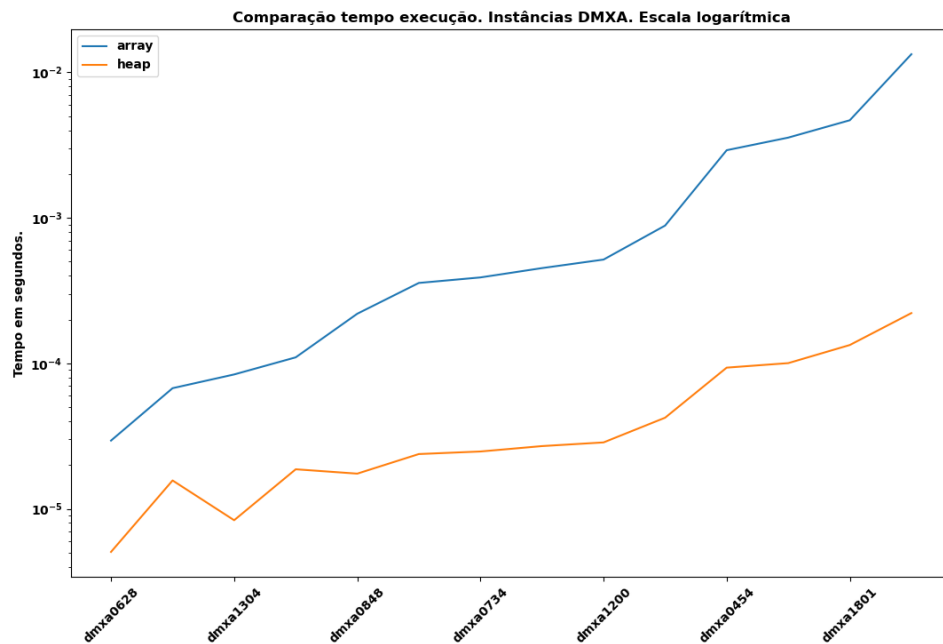


Figura 09. Gráfico de instâncias DMXA comparação entre Array e Heap.

6.4 Instâncias test_set1

A tabela 7 mostra o número de nós e arcos para cada uma das instâncias de test_set. No caso destas instâncias elas são grafos completos e simétricos. Não aparece nesta tabela a instância check_v5_s1, pois ela é destinada para validar a corretude do algoritmo. Realizamos uma representação da instância check_v5_s1 que é mostrada na Figura 10 e pode ser testada através do link:

<https://graphonline.ru/pt/?graph=IhbkgxGURktXZVtO>.

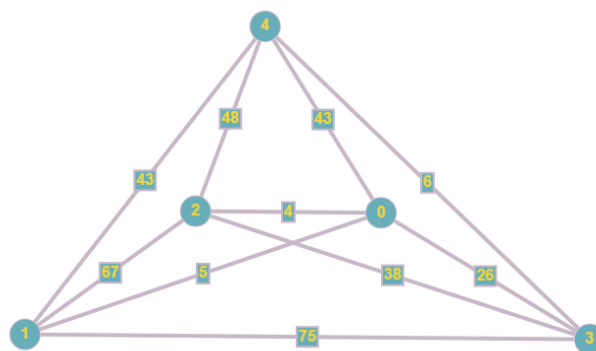


Figura 10. Representação da instância check_v5_s1.

Tabela 7 – Características de nós e arcos das instâncias test_set1

Instâncias	Nós	Arcos
inst_v100_s1	100	9.900
inst_v200_s1	200	39.800
inst_v300_s1	300	89.700
inst_v400_s1	400	159.600
inst_v500_s1	500	249.500
inst_v600_s1	600	359.400
inst_v700_s1	700	489.300
inst_v800_s1	800	639.200
inst_v900_s1	900	809.100
inst_v1000_s1	1.000	999.000

A Tabela 8 exibe as medianas para tempo de execução das versões *array* e *heap* em nanosegundos (ns) do algoritmo de estudo para instâncias test_set1. O gráfico para esses resultados são apresentados a seguir.

Tabela 8 – Médias para tempo de execução das instâncias test_set1.

Instâncias	Array - tempo mediano (nns)	Heap - tempo mediano (nns)
inst_v100_s1	55.550	50.150
inst_v200_s1	331.300	310.000
inst_v300_s1	777.050	733.300
inst_v400_s1	1.513.750	1.500.650
inst_v500_s1	3.553.600	4.150.300
inst_v600_s1	10.367.350	9.465.500
inst_v700_s1	14.857.600	14.062.050
inst_v800_s1	19.561.600	19.536.600
inst_v900_s1	25.389.400	25.521.750
inst_v1000_s1	31.896.600	32.409.600

Diferente das outras classes de instâncias apresentadas anteriormente, para o caso de instâncias de test_set1 ambas as versões do algoritmo, *array* e *heap*, apresentam tempo de processamento próximos entre as duas versões (Figura 11). Sendo que, comparando-se os tempos de processamento reais da tabela 8 com os tempos de processamento reais das classes de instâncias ALUE, ALUT E DMXA, tem-se que os tempos de processamento de instâncias test_set1 são muito superiores aos apresentados pelas classes ALUE, ALUT E DMXA.

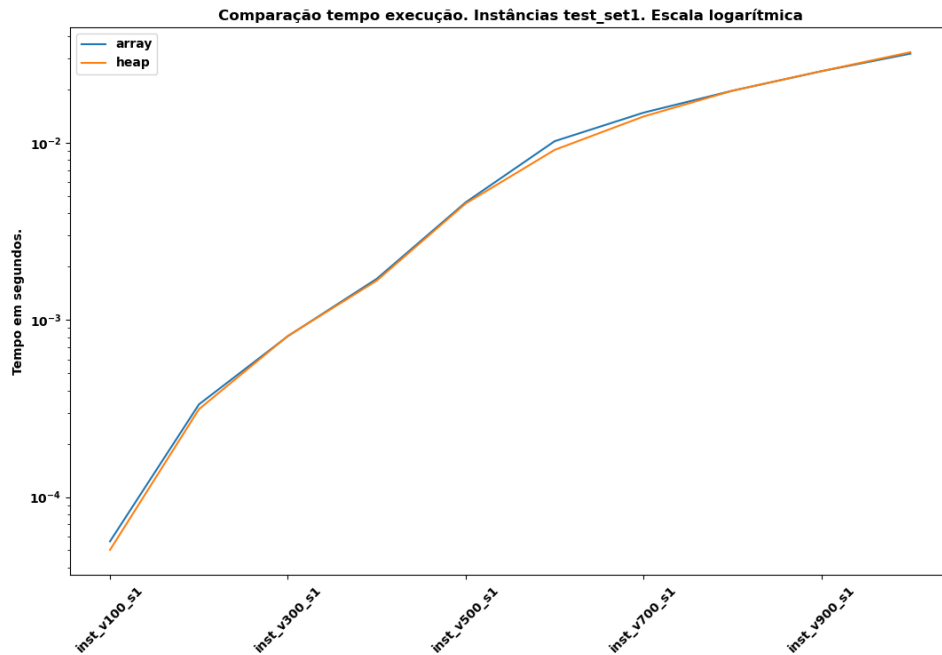


Figura 11. Gráfico de instâncias test_set1 com comparação Array e de Heap.

6.5 Instâncias test_set2

A tabela 9 mostra o número de nós e arcos para cada uma das instâncias de test_set2. No caso destas instâncias elas são grafos completos e assimétricos. Não aparece nesta tabela a instância check_v5_s2, pois ela é destinada para validar a correteza do algoritmo.

Tabela 9 - Características de nós e arcos das instâncias test_set2.

Instâncias	Nós	Arcos
inst_v100_s2	100	9.900
inst_v200_s2	200	39.800
inst_v300_s2	300	89.700
inst_v400_s2	400	159.600

inst_v500_s2	500	249.500
inst_v600_s2	600	359.400
inst_v700_s2	700	489.300
inst_v800_s2	800	639.200
inst_v900_s2	900	809.100
inst_v1000_s2	1000	999.000

A Tabela 10 exibe as medianas para tempo de execução das versões *array* e *heap* em nanosegundos (ns) do algoritmo de estudo para instâncias test_set1.

Tabela 10 – Médias para tempo de execução das instâncias test_set2.

Instâncias	Array - tempo mediano (nns)	Heap - tempo mediano (nns)
inst_v100_s2	50.200	56.100
inst_v200_s2	298.350	319.550
inst_v300_s2	724.400	758.550
inst_v400_s2	1.935.550	1.851.900
inst_v500_s2	5.158.300	4.773.100
inst_v600_s2	9.475.450	8.259.350
inst_v700_s2	15.374.650	12.307.400
inst_v800_s2	20.361.950	16.049.350
inst_v900_s2	26.869.350	19.860.500
inst_v1000_s2	34.708.100	24.664.250

De forma semelhante às instâncias de test_set1 ocorreu das versões do algoritmo *array* e *heap* para instâncias test_set2 apresentarem tempo de processamento próximos (Figura 12). Também ocorreu de os tempos de processamento reais de instâncias de test_set2 serem muito superiores aos tempos de processamento reais das classes de instâncias ALUE, ALUT E DMXA, comparando-se respectivamente com os valores das tabelas 2, 4 e 6. No caso das maiores instâncias da versão *heap*, elas apresentaram valores maiores de processamento do que a versão *array*.

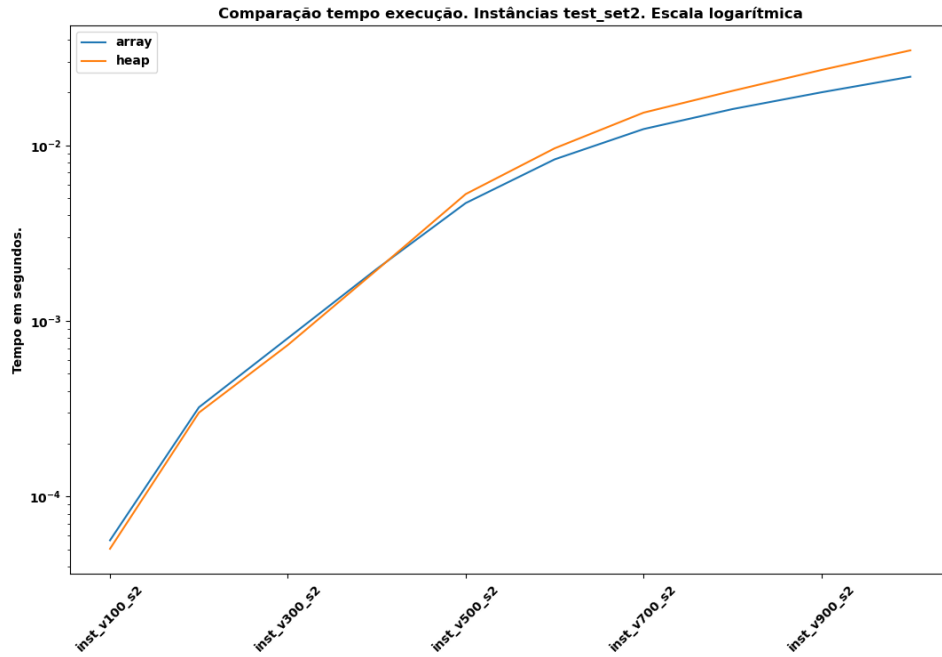


Figura 12. Gráfico de instâncias test_set2 com comparação entre Array e Heap.

7. Análise normalizada

Foi realizado também um comparativo dos tempos de execução com a complexidade esperada de cada algoritmo. Neste comparativo, o tempo de execução real foi dividido pela complexidade do algoritmo de forma a verificar se o primeiro é realmente proporcional ao segundo.

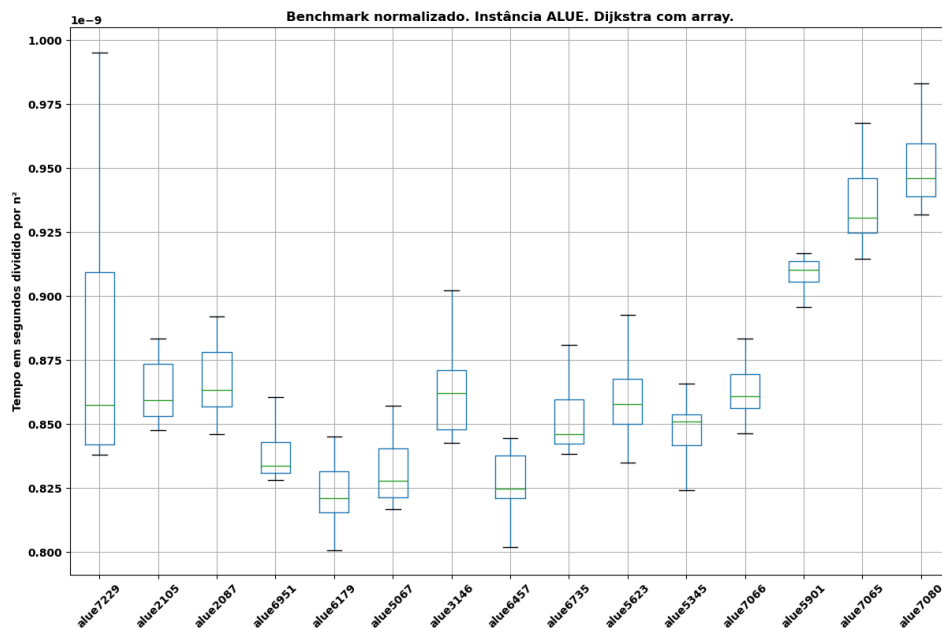


Figura 13. Benchmark normalizado da instância ALUE com array

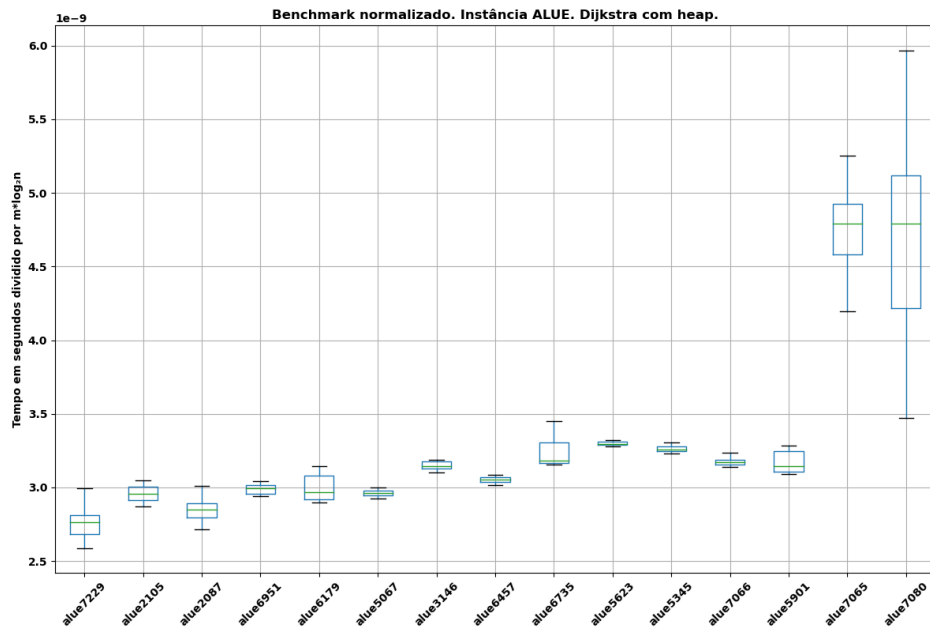


Figura 14. Benchmark normalizado da instância ALUE com heap.

Nas figuras 13 e 14, na comparação dos tempos de execução normalizados da instância ALUE, é possível ver certa linearidade nos tempos de execução, com exceção de alue7065 e alue7080. Entretanto, não é possível concluir precisamente que ela existe.

8. Conclusão

Com os resultados experimentais obtidos a partir da implementação e com os recursos computacionais apresentados, há o indicativo de que para as classes de instâncias ALUE, ALUT e DMXA, que possuem instâncias de grafos esparsos, a versão *heap* do algoritmo de *Dijkstra* apresentou tempo de processamento melhor que a versão em *array*.

Para as classes de teste TEST_SET1 e TEST_SET2 cujos grafos são completos, foram apresentados tempos de execução similares entre os dois algoritmos para todas as instâncias testadas.

Por isso, recomenda-se o estudo do tipo de grafo a ser processado para a recomendação de um algoritmo com menor tempo de execução real.

Referências

Ahuja, R., et al. *"Network Flows. Theory, Algorithms and Applications"*. Prentice hall, 1993.

Cormen, T. *"Desmistificando algoritmos. Vol. 1"*. Elsevier Brasil, 2017.

Duch, A. *"Análisis de Algoritmos"* Barcelona, Universidad Politécnica de Barcelona, 2007.

Gillespie, T.; *"The relevance of algorithms"*, livro: *"Media Technologies: Essays on Communication, Materiality, and Society"*. MIT Press, 2014.

Knuth, Donald E. *"An empirical study of Fortran programs Software: Practice and experience 1.2"*. 1971.

Von Atzingen, J., et al. *"Análise comparativa de algoritmos eficientes para o problema de caminho mínimo."* Universidade de São Paulo (USP). São Paulo, Escola Politécnica, 2012.

Ziviani, N. *"Projeto de Algoritmos Com Implementações Em Pascal e C"*. Editora: Pioneira Thomson Learning, 2004.